

Computergraphik II

Winter 2011/2012

8 GPU Programmierung

Versionsdatum: 14. November 2011



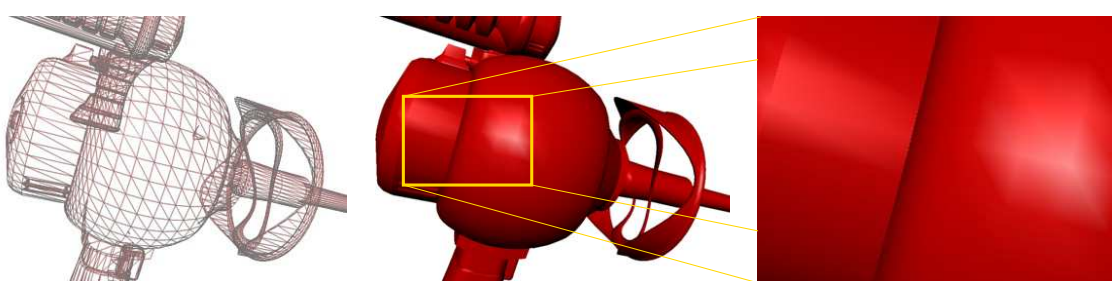
8 GPU Programmierung ...



Bisherige Themen CG-I: Raytracing und Rastergraphik (Graphik-Pipeline)

Einschränkungen bei der Nutzung der Rastergraphik

- „Kleinteilige“ Übertragung von Daten CPU→GPU
(`glNormal()`, `glTexCoord()`, `glVertex()`; Lösung: Vertex-Arrays)
- Feste Verarbeitungsstruktur, z.B. per-Vertex Beleuchtung



Ziele: Grundlagen der GPU-Programmierung mit Anwendungsrichtungen

- flexiblere Datenverarbeitung, z.B. per-Fragment Beleuchtung
- Nutzung der Performance neuerer Graphikkarten

Literatur: Randi Rost: *OpenGL Shading Language*, Addison Wesley



8.1 Erinnerung Rastergraphik



Grundsätzlich Vorgehensweise bei der Rastergraphik

```
foreach Obj in SceneDatabase do {  
    project Obj onto image plane  
    foreach pixel (x,y) for Obj do {  
        if ( Obj(x,y) closest so far )  
            compute & set color for pixel (x,y) on Obj  
    }  
}
```

Subsysteme in der Rastergraphik

- Geometrie-Subsystem verarbeitet Punkte (Transform., Beleuchtung, etc.)
- Raster-Subsystem verarbeitet Fragmente, die späteren Pixel

Koordinatensysteme:

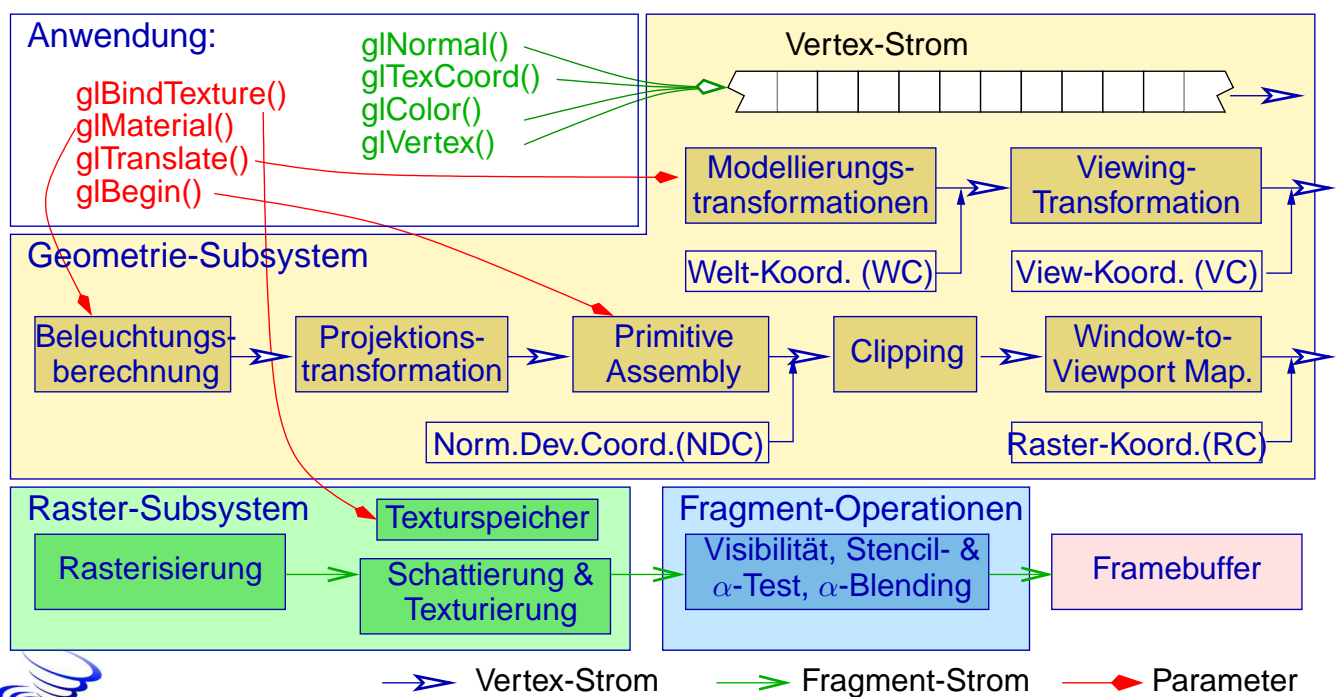
- Master-Koord. (MC): Hier werden Objekte erstellt
- Welt-Koordination (WC): Hier werden Objekt zueinander positioniert.
- View-Koordination (VC): Koordinaten des Beobachters
- Normalized Device Coordinates (NDC): $[-1, 1]^3$
- Raster-Koordination (RC): Pixelkoordinaten in der Bildebene



8.1 Erinnerung Rastergraphik ...



- bestimmte OpenGL-Befehle **parametrisieren** die Graphik-Pipeline
- andere Befehle „schieben“ Daten in die Graphik-Pipeline (**Vertex-Stream**)



8.1.1 Rückblick: Geometrie-Subsystem



Ziel: Erinnerung an wichtige Bausteine des Geometrie-Subsystems

Model- und Viewing-Transformationen:

- Affine Model- ($T_{\text{model}} : \text{MC} \rightarrow \text{WC}$) und Viewing-Transformation ($T_{\text{view}} : \text{WC} \rightarrow \text{VC}$)
- OpenGL's Model-View-Matrix: $T_{\text{modelview}} = T_{\text{view}} \cdot T_{\text{model}}$

Per Vertex Beleuchtung nach dem Phong- (bzw. Blinn-Phong) Modell

$$\begin{aligned}\mathbf{I}_{\text{gesamt}} &= \mathbf{I}_a + \mathbf{I}_d + \mathbf{I}_s \\ &= \mathbf{k}_a * \mathbf{L}_a + \max\{\hat{\mathbf{n}} \cdot \hat{\mathbf{l}}, 0\} \cdot \mathbf{k}_d * \mathbf{L}_d + \max\{\hat{\mathbf{l}} \cdot \hat{\mathbf{r}}_v\}^n, 0\} \cdot \mathbf{k}_s * \mathbf{L}_s\end{aligned}$$

$\mathbf{I}_{a,d,s}$ ambienter, diffuser, spekularer Beleuchtungsanteil

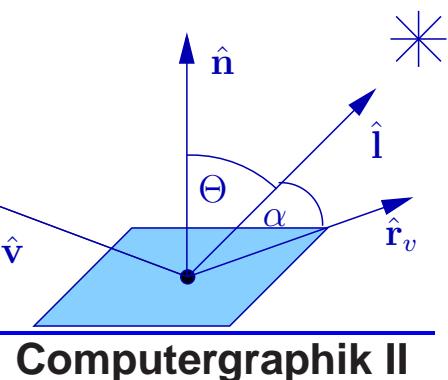
$\mathbf{L}_{a,d,s}$ amb., diff., spek. Licht der Lichtquelle

$\mathbf{k}_{a,d,s}$ amb., diff., spek. Reflexionskoefizienten des Materials



Prof. Dr. Andreas Kolb
Computer Graphics & Multimedia Systems

-Folie 8-5-



Computergraphik II

8.1.1 Rückblick: Geometrie-Subsystem ...



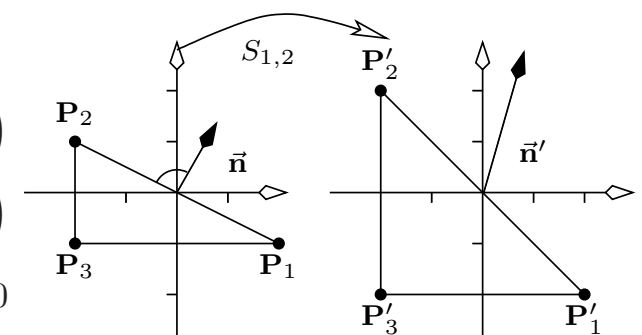
Bemerkung: Transformation von Normalen

Vertex von MC nach VC: $\mathbf{P}^{VC} = T_{\text{modelview}} \cdot \mathbf{P}^{MC}$

Was passiert mit Normalen, wenn man diese gleich transformiert?

2D Beispiel: Skalierung $S_{1,2}$

$$\begin{aligned}\mathbf{P}_1 &= \begin{pmatrix} 2 \\ -1 \end{pmatrix}, \mathbf{P}_2 = \begin{pmatrix} -2 \\ 1 \end{pmatrix}, \vec{\mathbf{n}} = \begin{pmatrix} 1 \\ 2 \end{pmatrix} \\ \mathbf{P}'_1 &= \begin{pmatrix} 2 \\ -2 \end{pmatrix}, \mathbf{P}'_2 = \begin{pmatrix} -2 \\ 2 \end{pmatrix}, \vec{\mathbf{n}}' = \begin{pmatrix} 1 \\ 4 \end{pmatrix} \\ (\vec{\mathbf{n}}' \cdot (\mathbf{P}'_2 - \mathbf{P}'_1)) &= \left(\begin{pmatrix} 1 \\ 4 \end{pmatrix} \cdot \begin{pmatrix} -4 \\ 4 \end{pmatrix} \right) = 12 \neq 0\end{aligned}$$



Korrekt: \mathbf{P}_i mit T transformieren und $\vec{\mathbf{n}}$ mit $(T^{-1})^T$, denn:

$$\begin{aligned}0 &= (\vec{\mathbf{n}} \cdot (\mathbf{P}_2 - \mathbf{P}_1)) = \vec{\mathbf{n}}^T \cdot (\mathbf{P}_2 - \mathbf{P}_1) = \vec{\mathbf{n}}^T \cdot (T^{-1} \cdot T) \cdot (\mathbf{P}_2 - \mathbf{P}_1) \\ &= (\vec{\mathbf{n}}^T \cdot T^{-1}) \cdot (T \cdot (\mathbf{P}_2 - \mathbf{P}_1)) = ((T^{-1})^T \cdot \vec{\mathbf{n}})^T \cdot (T \cdot (\mathbf{P}_2 - \mathbf{P}_1))\end{aligned}$$

Beachte: „·“ ist im 1. Ausdruck das Innere Produkt, sonst das **Matrix-Produkt**



Prof. Dr. Andreas Kolb
Computer Graphics & Multimedia Systems

-Folie 8-6-

Computergraphik II

8.1.1 Rückblick: Geometrie-Subsystem ...



Projektions-Transformation:

- In der Regel perspektivische, selten orthographische Transformation
- Abbildung von VC in NDC
- OpenGL's Projection-Matrix: T_{proj}

Primitive Assembly: (das wurde in CG_I unterschlagen)

- Hier werden erstmals die Vertices zu Primitiven (entspr. `glBegin(Primitive-Typ)`) zusammengefügt
- zunächst können wir diese Stufe ignorieren



8.1.2 Rückblick: Raster-Subsystem



Ziel: Erinnerung an wichtige Bausteine des Raster-Subsystems

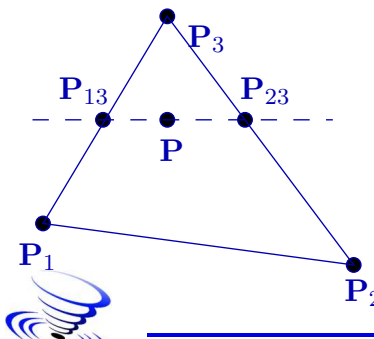
Input zum Raster-Subsystem sind Dreiecke mit

- Vertices P_i , $i = 1, 2, 3$, wobei (p_x, p_y) Rasterkoordinaten und p_z die Tiefe ist
- per-Vertex Daten: Farbe I_i , Textur-Koordinaten (s_i, t_i)

Schattierung & Texturierung basieren auf der **Scanline-Rasterisierung**

- Interpolation der per-Vertex-Daten für jedes rasterisierte Pixel/Fragment
- Perspektivisch korrekte Interpolation der per-Vertex-Daten für Pixel

Erinnerung: Vereinfachte lineare Interpolation



$$\begin{aligned} P_{13} &= (1 - \alpha_{13})P_1 + \alpha_{13}P_3 \Rightarrow I_{13} = (1 - \alpha_{13})I_1 + \alpha_{13}I_3 \\ P_{23} &= (1 - \alpha_{23})P_2 + \alpha_{23}P_3 \Rightarrow I_{23} = (1 - \alpha_{23})I_2 + \alpha_{23}I_3 \\ P &= (1 - \alpha)P_{13} + \alpha P_{23} \Rightarrow I = (1 - \alpha)I_{13} + \alpha I_{23} \end{aligned}$$



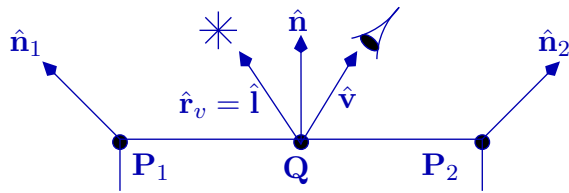
8.1.2 Rückblick: Raster-Subsystem ...



Probleme der Interpolation

Interpolation kann lokale Effekte nicht berücksichtigen, insbesondere spekulare Highlights innerhalb eines Dreiecks

Beispiel: Spekulare Highlights



Fehler bei spiegelnder Reflexion:

- bei P_1, P_2 keine spieg. Reflexion
- Gouraud: Kein spiegelnder Anteil bei Q
- Phong bei Q liefert max. spieg. Reflexion

Fragment-Operationen

Visibilität: Wird durch z-Buffer-Algorithmus abgehandelt

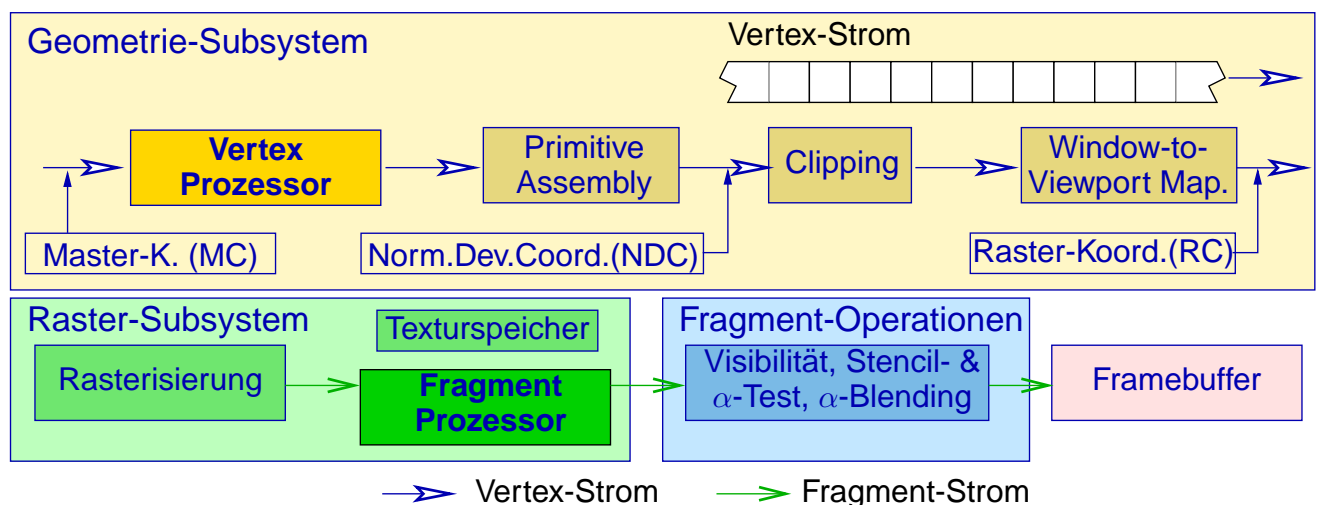
α -Blending, Stencil-Test: siehe CG1-Abschnitt „Spezielle Aspekte der Computergraphik“



8.2 Programmierbare Graphikhardware



Grundidee: Workflow der Graphik-Pipeline bleibt erhalten, aber Teile des Geometrie-Subsystems (→ **Vertex-Prozessor**) und des Raster-Subsystems (→ **Fragment-Prozessor**) werden programmierbar



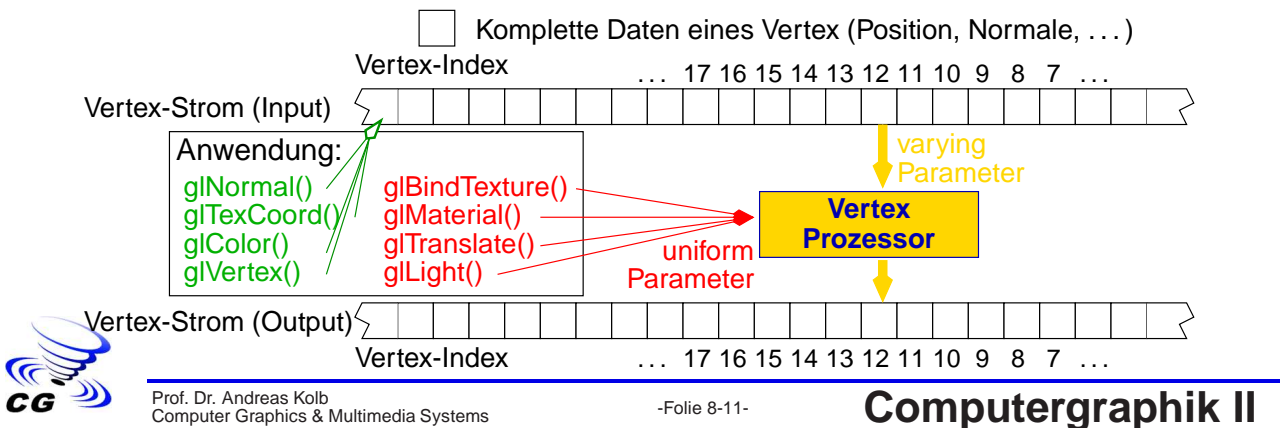
Stream-Prozessoren

GPU-Prozessoren sind **Stream-Prozessoren**, d.h. sie

- lesen Daten von einem **Input-Stream** (read-only) (**Varying Variablen**),
- schreiben strukturgleiche Daten auf einen **Output-Stream** (write-only),
- sind programmierbar (→ **Vertex**- bzw. → **Fragment-Programm**) und
- die Programme können parametrisiert werden (**Uniform Variablen**)

Wichtig: Lese- und Schreibposition in dem Stream sind fix!

Beispiel: Vertex-Prozessor / Vertex-Programm



8.2 Programmierbare Graphikhardware ...

Vertex-Prozessor

Aufgaben des Vertex-Prozessors/Vertex-Programms

- Vertex-Transformation, per-Vertex Beleuchtung
- Normalen-Transformation und Normalisierung der Normalen
- Generierung von Textur-Koordinaten

Varying (Stream-Input) Variablen: Position, Farbe, Normale, Textur-Koordinate

Fragment-Prozessor

Aufgaben: Verarbeitung der vom Rasterisierer interpolierten per-Vertex Daten (Farbe, Tiefe, Texture-Koordinaten) auf Fragment-Ebene

- Auslesen von Daten (Farben etc.) aus Texturen
- Textur-Funktion, also die Ermittlung der finalen Farbe aus Textur- und (interpolierter) Fragment-Intensität

Varying (Stream-Output) Variablen: Farbe, Tiefe



Historischer Abriß: Wesentliche Entwicklungsstufen

- 2001, GeForce 3: Erste programmierbare Vertex- und Fragmentprozessoren
- 2002, ATI Radeon 9700: Erste Schleifen und Fließkommazahlen
- 2006, Unified Shader Model: Generische Processing Units statt dedizierte Vertex- oder Fragment-Prozessoren
- 2007, NVIDIA CUDA (Compute Unified Device Architecture): Erste „Nicht-Graphik“ API für GPUs
- Aktuell: OpenCL (Open Compute Lang.), plattformübergreifend

Programmiersprachen: (nur die wichtigsten, „Graphik-lastigen“)

- NVIDIA's „C for graphics“ (Cg), nur für NVIDIA Hardware
- Microsoft's High Level Shading Language (HLSL), nur mit Direct3D
- **OpenGL Shading Language (GLSL)**: Hardware- u. plattformübergreifend

Grundsätzlich:

- Alles sind C-ähnliche Sprachen mit sehr ähnlicher Syntax

 Im Folgenden: **Shader** als Synonym für GPU-Programm



8.3 GPU-Hardware und Programmiersprachen ...



Beispiel GPU-Hardware: NVIDIA GeForce GTX 280 (Juni 2008)

Anzahl Transistoren: 1.4 Millarden (1.400.000.000)

Gesamter Speicher: 1 GB

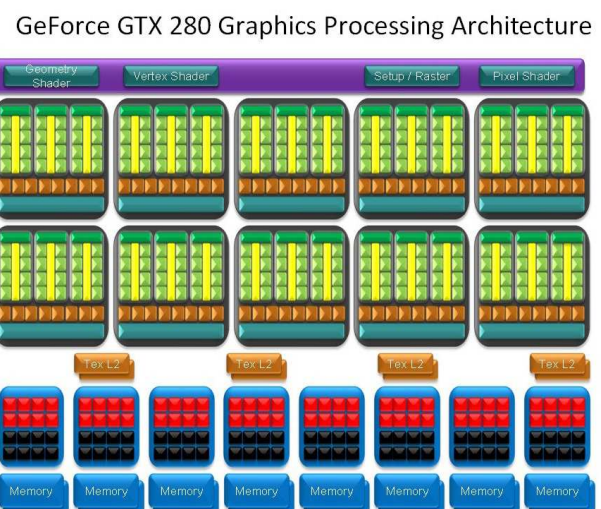
Taktraten: Core/Prozessor/Speicher 602 MHz/1296 MHz/2214 MHz

Pixel-Füllrate: 19,264 Giga-Pixel/sec
(nur Rasterisierung)

Rechenleistung: 933 GFLOPS
(Vergleich: Intel i7-965: 51.2 GFLOPS)

240 Prozessoren gruppiert in

- 10 Texture Processing Clusters (TPCs),
- jeder TPC hat 3 Streaming Multiprocessors (SMs) und
- jeder SM hat 8 Streaming Processors (SPs)





Performance Vorteil der GPU

Rechenleistung: Nominell ist die GPU 20-fach schneller als die CPU!

Ursache I: Massive Parallelität, konkret

- SIMD (Single Instructions Multiple Data): 4-fach Operationen pro Cycle:

$$\begin{bmatrix} x_1 \\ y_1 \\ z_1 \\ w_1 \end{bmatrix} + \begin{bmatrix} x_2 \\ y_2 \\ z_2 \\ w_2 \end{bmatrix} = \begin{bmatrix} x_1 + x_2 \\ y_1 + y_2 \\ z_1 + z_2 \\ w_1 + w_2 \end{bmatrix} \quad \text{in einem Cycle (auch für *, /, *= etc.)!}$$

- Viele, parallel arbeitende Prozessoren (s. NVIDIA GeForce GTX 280)

Ursache II: Restriktives Streamprozessor Programmiermodell, insbesondere fixe Lese- und Schreibposition im Stream



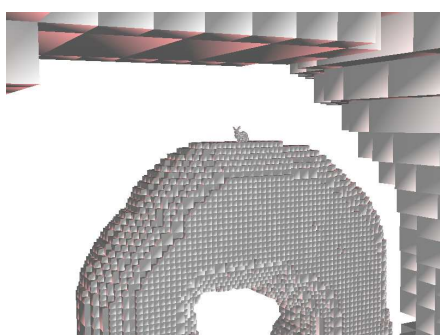
8.4 OpenGL Shading Language (GLSL)



Einschränkungen

- Hier werden nur die grundsätzlichen Funktionsweisen erläutert, zur Vertiefung wird auf die Literatur (insb. Rost: *OpenGL Shading Language*, Addison Wesley) verwiesen!
- Wir besprechen nur einfache Graphik-Beispiel, aber GPU-Programmierung ist **viel mächtiger** als Standard-Graphik-Programmierung!

Beispiel: Aktuelle Forschung am Siegener Graphik-Lehrstuhl



GPU-verwaltete, dynamische Voxelstruktur (M. Keller)



Mesh-Clustering auf der GPU (I. Chiosa)



Simulation von Gras inkl. Kollisionen (J. Orthmann)



8.4.1 Grundsätzliche Anwendungsstruktur



OpenGL Extensions

OpenGL's GPU Funktionalität ist in vielen OpenGL-Extensions definiert bzw. realisiert

OpenGL-Extensions sind sehr dynamisch in ihrer Entwicklung

Je nach Hardware werden nicht alle Extensions unterstützt

Beispiel unter Linux mit Kommando glxinfo (Auszug)

```
GLX version: 1.3
GLX extensions:
    GLX_EXT_visual_info, GLX_EXT_visual_rating, GLX_SGIX_fbconfig,
    GLX_SGIX_pbuffer, GLX_SGI_video_sync, GLX_SGI_swap_control,
    GLX_EXT_texture_from_pixmap, GLX_ARB_create_context, GLX_ARB_multisample,
OpenGL vendor string: NVIDIA Corporation
OpenGL renderer string: GeForce 7950 GX2/PCI/SSE2
OpenGL version string: 2.1.2 NVIDIA 180.44
OpenGL extensions:
    GL_ARB_color_buffer_float, GL_ARB_depth_texture, GL_ARB_draw_buffers,
    GL_ARB_fragment_program, GL_ARB_fragment_program_shadow,
    GL_ARB_fragment_shader, GL_ARB_half_float_pixel, GL_ARB_half_float_vertex,
```

GLEW-Bibliothek stellt die jeweils aktuellen Extensions zur Verfügung

Linux: #include <GL/glew.h>; Link: -lGLEW



8.4.1 Grundsätzliche Anwendungsstruktur ...



Erzeugung und Aktivierung von GPU-Programmen

```
// Der Quellcode der GPU Programme
// VS = Vertex Shader, FS Fragment Shader
const char *vsCode = "...";
const char *fsCode = "...";

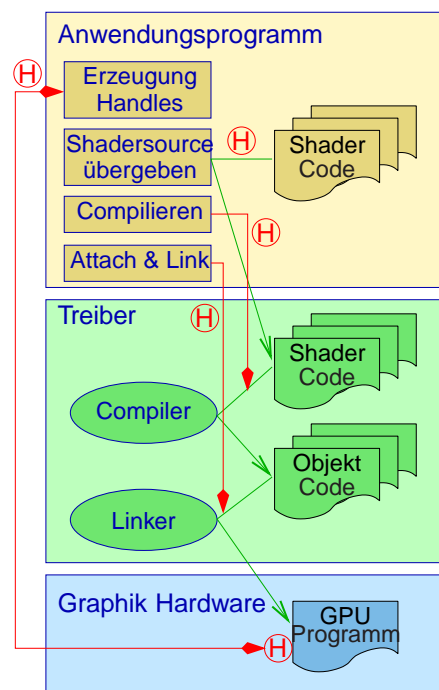
// Handles für GPU Programm, VS und FS
GLuint pHandle, vsHandle, fsHandle;
pHandle = glCreateProgram();
vsHandle = glCreateShader(GL_VERTEX_SHADER);
fsHandle = glCreateShader(GL_FRAGMENT_SHADER);

// Übergabe des Shader-Codes
glShaderSource(vsHandle, 1, &vsCode, NULL);
glShaderSource(fsHandle, 1, &fsCode, NULL);

// Übersetzen von Vertex- und Fragment Shaders
glCompileShader(vsHandle);
glCompileShader(fsHandle);

// Einhängen von VS und FS und linken
glAttachShader(pHandle, vsHandle);
glAttachShader(pHandle, fsHandle);
glLinkProgram(pHandle);

// Aktiviert GLSL Programm
glUseProgram(pHandle);
```



8.4.1 Grundsätzliche Anwendungsstruktur ...



Varying Vertex-Shader (VS) Parameter

VS-Input-Stream: Einspeisen der Positions-, Normalen, TexCoord- und Color-Daten in den Vertexstream und Aufruf des aktiven VS

OpenGL-Befehl	glVertex	glNormal	glColor	glTexCoord
Varying VS-Param.	gl_Vertex	gl_Normal	gl_Color	gl_MultiTexCoordX
Datentyp	vec4	vec3	vec4	vec4

Textur-Koordinaten: Mehrere TexCoord per Vertex möglich (Standard
gl_MultiTexCoord0)

VS-Output-Stream: Unterscheide **built-in**- und **user-defined** Parameter

- Built-In: gl_Position (vec4), gl_FrontColor (vec4), gl_TexCoord[] (vec4) in NDC
- User-defined: **Identische Deklaration** im Vertex- und Fragment-Shader

```
// Vertex Shader                                // Fragment Shader
varying vec3 normal; // per vertex normal      varying vec3 normal; // interpol. normal
...                                         ...
```



8.4.1 Grundsätzliche Anwendungsstruktur ...



Varying Fragment-Shader (FS) Parameter

FS-Input-Stream: Varying output des VS werden interpoliert und sind varying input für den FS

- gl_Position (output VS) steht nicht zur Verfügung
- gl_Color, gl_TexCoord[], und andere Varying-Var. (output VS) werden für Fragment (perspektivisch korrekt) interpoliert

FS-Output-Stream: gl_FragColor (vec4), gl_Depth (float)

Uniform Parameter

Parameter, die sich seltener ändern und nicht Teil des (Vertex-)Streams sind.

Built-in: Analog zu Stream-Parametern, sind aber für VS und FS zugreifbar

User-defined: Deklaration im Shader-Programm, **location** entspricht GPU-Speicheradresse, Wertzuweisung erfolgt in der Anwendung

```
// Shader (VS oder FS) // C++-Code auf CPU
uniform vec2 myParam;  GLint loc = glGetUniformLocation(pHandle, "myParam");
...                      glUniform2f(loc, 47.0, 11.0);
```





Überblick über built-in Uniform Parameter

Auszug von built-in Uniform Parameter:

<code>mat4 gl_ModelViewMatrix</code>	aktuelle $T_{\text{modelview}}$
<code>mat4 gl_ModelViewProjectionMatrix</code>	aktuelle $T_P \cdot T_{\text{modelview}}$
<code>mat4 gl_ProjectionMatrix</code>	aktuelle T_P
<code>mat4 gl_ModelViewMatrixInverseTranspose</code>	aktuelle $(T_{\text{modelview}}^{-1})^T$ ebenfalls $(T_{\text{modelview}}^{-1})^T$
<code>mat3 gl_NormalMatrix</code>	ambienter Anteil der i-ten Lichtquelle
<code>vec4 gl_LightSource[i].ambient</code>	diffuserer Anteil der i-ten Lichtquelle
<code>vec4 gl_LightSource[i].diffuse</code>	spekularer Anteil der i-ten Lichtquelle
<code>vec4 gl_LightSource[i].specular</code>	Position der i-ten Lichtquelle
<code>vec4 gl_LightSource[i].position</code>	Spot-Richtung der i-ten Lichtquelle
<code>vec3 gl_LightSource[i].spotDirection</code>	Spot-Exponent der i-ten Lichtquelle
<code>float gl_LightSource[i].spotExponent</code>	Spot-Cutoff-Winkel der i-ten Lichtquelle
<code>float gl_LightSource[i].spotCutoff</code>	Eigenemission des Materials
<code>vec4 gl_FrontMaterial.emission</code>	ambiente Materialkonstante
<code>vec4 gl_FrontMaterial.ambient</code>	diffuse Materialkonstante
<code>vec4 gl_FrontMaterial.diffuse</code>	speculare Materialkonstante
<code>vec4 gl_FrontMaterial.specular</code>	Reflexionsexponent
<code>float gl_FrontMaterial.shininess</code>	



8.4.2 Geo-Morph

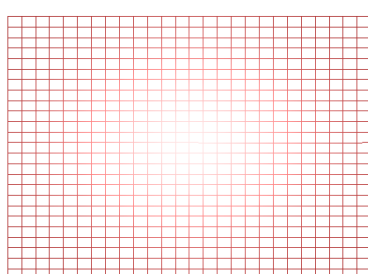


Ziel: Nutzung des VS zur „Mischung“ von Geometrie

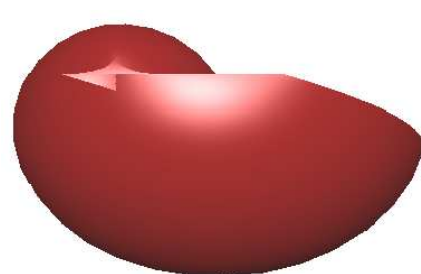
Konkretes Beispiel: Morphing zwischen einem Quadrat und einer Kugel

1. OpenGL-Anwendung erzeugt auf der CPU ein tesselliertes Quadrat
2. VS interpretiert Vertices als Parameter für Kugel-Parametrisierung
3. VS interpoliert zwischen den Punkten im Quadrat und auf der Kugel

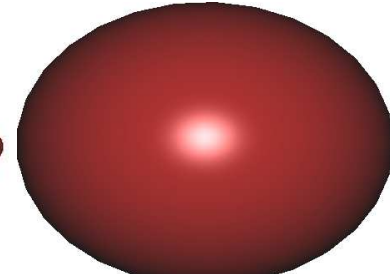
Ergebnis:



Ausgangsgitter



Morphing zwischen Ebene und Kugel



„fertige“ Kugel



8.4.2 Geo-Morph ...

Vertex-Shader Code

```

varying vec4 posVC; // vertex in VC
varying vec3 normVC; // normal in VC
uniform float time; // animation param.
const float M_PI = 3.14159;
// unit sphere: param in [-1,1]^2
vec4 sphere (vec2 param)
{
    vec4 result;
    float phi = (param.x - 1.0) * M_PI;
    float theta = (param.y) * M_PI / 2.0;
    result.x = cos(phi)*cos(theta);
    result.y = sin(phi)*cos(theta);
    result.z = sin(theta);
    result.w = 1.0;
    return result;
}
void main()
{
    // sphere in MC (center in the origin)
    vec4 spherePos;
    vec3 sphereNorm;

```



```

spherePos = sphere(gl_Vertex.xy);
sphereNorm = spherePos.xyz;
// mix data (morphing); blend in [0,1]
vec4 posMC;
vec3 normMC;
float blend;
blend = abs(mod(time, 2.0) - 1.0);
posMC =
    mix(gl_Vertex, spherePos, blend);
normMC =
    mix(gl_Normal, sphereNorm, blend);
normMC = normalize(normMC);
// transform vertex and normal in VC
normVC =
    normalize(gl_NormalMatrix * normMC);
posVC =
    gl_ModelViewMatrix * posMC;
// transform vertex in NDC (required)
gl_Position =
    gl_ModelViewProjectionMatrix * posMC;
}

```

8.4.2 Geo-Morph ...

Geo-Morph Erläuterungen

User defined Varying: posVC, normVC für per-Fragment Beleuchtung (später!)

User defined Uniform: time zur Animation beim Morphing

Swizzling: Beliebiger Zugriff auf (eine oder mehrere) Komponenten

Beispiel: Sei `vec4 myVec = vec4(1,2,3,4)`, dann ist z.B.

```

myVec.x == float(1);           myVec.xy == vec2(1,2);
myVec.xyzw == vec3(1,2,3,4);   myVec.wx == vec2(4,1);
myVec.yyxz == vec4(2,2,1,1);   myVec.wwww == vec4(4,4,4,4);

```

main-Funktion als Einstiegspunkt (ohne Parameter!)

Unter-Funktionen wie in C/C++, allerdings keine Zeiger oder Referenzen

Funktionen arbeiten (fast) alle generisch auf float, vec2, vec3, vec4

- Standard mathematische Funktionen (`sin`, `cos`, `log`, `pow`, `exp` ...)
- Vektor-Funktionen: `dot` (Vektorprodukt), `cross` (Kreuzprodukt),
`normalize` (Normalisierung), `reflect` (Reflexionsvektor)



8.4.3 Per-Fragment Beleuchtung

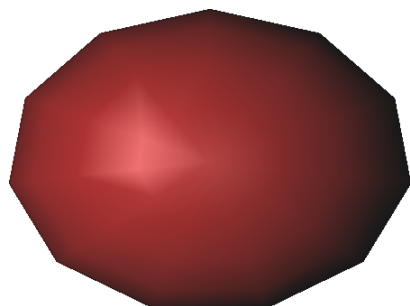


Ziel: Ersetzen der per-Vertex Beleuchtung & Interpolation durch eine per-Fragment Beleuchtung

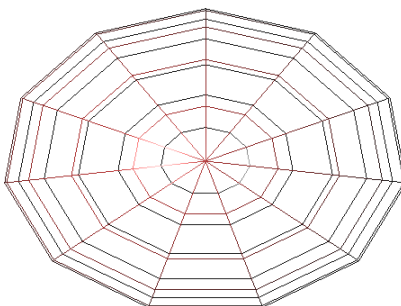
Vorgehen: Berechnung des Phong-Modells im FS

- Wesentliche Informationen liegen im FS schon vor (Licht, Material)
- Fehlt: Pro-Fragment Normale und -Position in View-Koordinaten (in NDC sind die Winkel durch die Projektion verändert!) Diese werden im VS erzeugt und an den FS als varying übergeben.

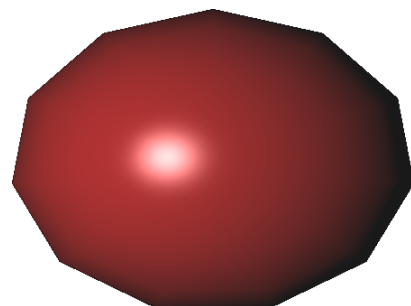
Ergebnis:



Per-Vertex Beleuchtung



Wireframe Ansicht



Per-Fragment Beleuchtung



8.4.3 Per-Fragment Beleuchtung ...



Fragment-Shader Code

```
varying vec4 posVC;           // fragment in VC
varying vec3 normVC;          // per fragment normal in VC

void main()
{
    // normal and other vectors in VC
    vec3 viewDir, reflectViewDir, lightDir;

    vec3 normal = normalize(normVC); // may be distorted due to interpolation
    viewDir = normalize(-posVC.xyz); // viewer is in origin!
    lightDir = normalize(gl_LightSource[0].position.xyz - posVC.xyz);
    reflectViewDir = reflect(-viewDir, normal);

    // per fragment color according to the Phong model
    vec4 amb = gl_FrontMaterial.ambient * gl_LightSource[0].ambient;
    vec4 diff = gl_FrontMaterial.diffuse *
        max(0.0, dot(normal, lightDir)) * gl_LightSource[0].diffuse;
    vec4 spec = gl_FrontMaterial.specular *
        pow(max(0.0, dot(reflectViewDir, lightDir)), gl_FrontMaterial.shininess) *
        gl_LightSource[0].specular;

    gl_FragColor = amb + diff + spec; // fragment stream output
}
```

Hinweis: Das Geo-Morph Programm nutzt auch die per-Fragment Beleuchtung



8.4.4 Normal Mapping

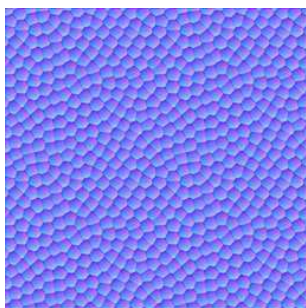


Idee: Interpretation von Texturdaten als Normalen im FS mit anschließender per-Fragment Beleuchtung

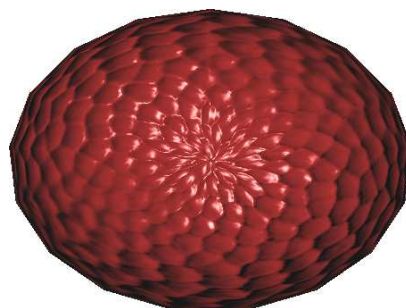
- Vorgehen:**
1. Speicherung der per-Fragment Normale in einer Textur
 2. Auslesen der Textur im FS und entspr. „Verdrehen“ der Normalen
 3. Einfache Nutzung der per-Fragment Beleuchtung

Beachte: Es werden keine Vertices verändert!

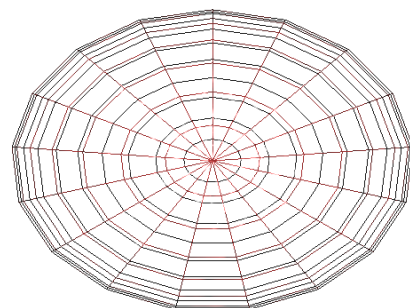
Ergebnis:



Normalen-Textur



Kugel mit Normal Mapping



Wireframe (keine
Geometrieänderung)



8.4.4 Normal Mapping ...



Fragment-Shader Code

```
varying vec4 posVC;           // fragment in VC
varying vec3 normVC;          // per fragment normal in VC
uniform sampler2D normalMap; // normal texture

void main()
{
    // normal and other vectors in VC
    vec3 viewDir, reflectViewDir, lightDir;

    // I. compute local coord. frame (tangent, binormal, normal)
    vec3 normal, tangent, binormal;

    normal = normalize(normVC);
    tangent = normalize(cross(normal, vec3(1,0,0)));
    binormal = cross(normal, tangent);

    // II. sample normal map and disturb normal in local coord. frame
    vec3 localNormal = texture2D(normalMap, gl_TexCoord[0].st).xyz;

    // transform values from [0,1] to [-1,1]
    localNormal = normalize((localNormal - 0.5) * 2.0); // SIMD calculus

    normal =
        localNormal[0]*tangent + localNormal[1]*binormal + localNormal[2]*normal;
    normal = normalize(normal);

    // standard phong
    (... skipped ...)

    gl_FragColor = amb + diff + spec;
```



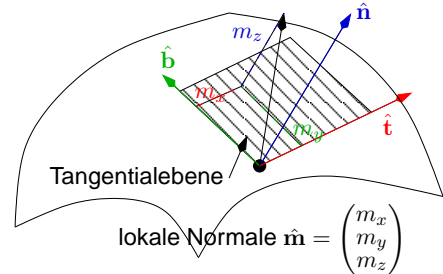
8.4.4 Normal Mapping ...



Normal-Map Erläuterungen

Lokale Koordinaten: Normalen

können nicht absolut in VC definiert sein, z.B. wegen wiederholter Textur-Koordinaten (GL_REPEAT)



Texturzugriff:

- Textur im Shader als `uniform sampler` deklarieren

- Anbinden der Textur im CPU-Programm

```
// activate 0-th texture unit and bind texture  
glActiveTexture(GL_TEXTURE0);  
 glBindTexture(GL_TEXTURE_2D, texId);  
  
// connect 0th texture unit with sampler  
GLint loc = glGetUniformLocation(g_pHandle, "normalMap");  
 glUniform1i(loc, 0);
```

- Auslesen der Texturdaten mit `texture2D(sampler, texCoord)`

Anpassung Wertebereich der Normalen-Textur: $[0, 1]^2 \rightarrow [-1, 1]^2$

 Prof. Dr. Andreas Kolb
Computer Graphics & Multimedia Systems

```
localNormal = normalize((localNormal - 0.5) * 2.0); (SIMD!)
```

-Folie 8-29-

Computergraphik II

8.4.5 Weitere Beispiele



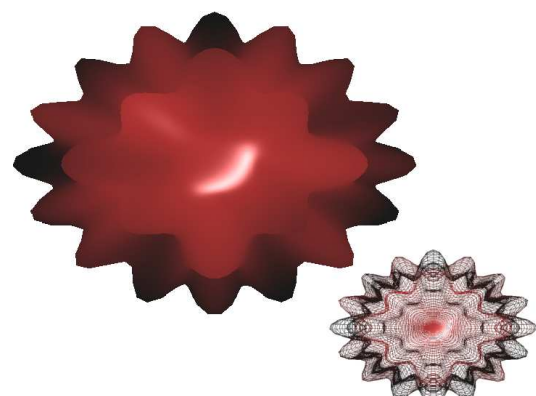
Animierte Geometrie

Idee: Veränderung der Geometrie im VS

Beispiel: Aussenden einer Sinus-Welle von einem Punkt im Raum

Geometrie-Anpassung sehr ähnlich zu Geo-Morph

Normalen-Anpassung ist schwieriger, da geometrische Nachbarschaftsinfo fehlt

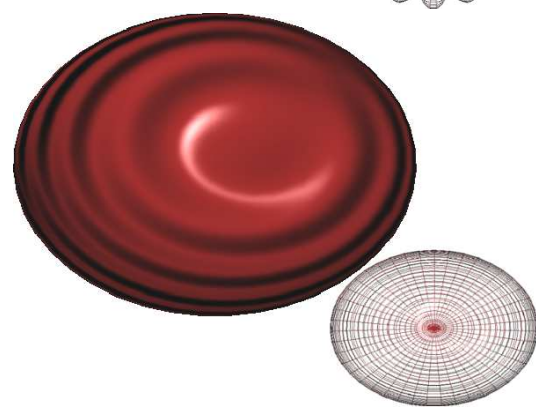


Prozedurales Bump-Mapping

Idee: (Dynamische) Änderung der Normalen per Prozedur statt per Textur im FS

Beispiel: Aussenden einer Sinus-Welle von einem Punkt im Raum

Normalen-Anpassung sehr ähnlich zu Normal Mapping



8.5 Weiterführende Themen



Framebuffer-Objects (FBO)

Bisher: Ergebnis des FS wird im Framebuffer gespeichert und angezeigt

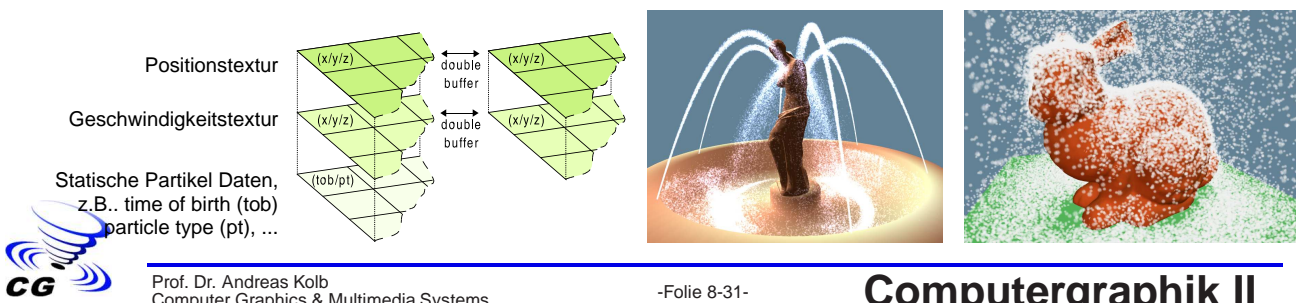
Jetzt: Speichern des Ergebnisses in einer Textur (**Framebuffer Object**)

Dies führt zu einer **erheblichen funktionalen Erweiterung**:

- „Render“-Ergebnis kann als beliebiges Datum interpretiert werden
- Erneute Nutzung der Daten in einem weiteren VS- oder FS-Pass

Beispiel Partikel-Systeme:

- Berechnung von Partikelparameter (Position, Geschwindigkeit, etc.) im FS und Speicherung in FBO
- Rendering der Partikel in einem zweiten Pass: VS liest Partikel-Textur und positioniert Partikel im Raum



8.5 Weiterführende Themen ...



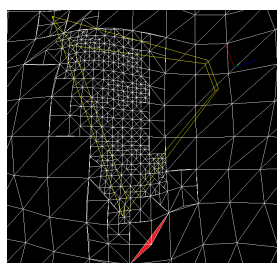
Geometry Prozessor und Geometry Shader

Bislang: Vertex- und Fragment-Prozessor verändern Stream-Struktur nicht

Jetzt: Geometry Prozessor kann Geometrie (konkret Vertices für das aktuelle Primitiv) **erzeugen**

- Geometry Prozessor kommt nach dem Vertex Prozessor
- Geometry Prozessor kann Daten an Fragment Prozessor weiterleiten oder zurück in den Vertex Prozessor leiten (**Transform Feedback**)

Anwendungsbeispiel: Erzeugung adaptiver Geometrien z.B. für Terrain-Rendering oder für Subdivisionsflächen



Adaptives Terrainrendering



Adaptive Strömungslinien